

弾性横リブ上で連続する直交異方性鋼床版の一解法

北海道大学 正員 渡辺 駿
 北海道大学 正員 ○佐藤 岩一
 北海道大学 学生員 松元 照幸

1. まえがき

先に発表した報文は2本の主材で単純支持された閉じりリブ鋼床版(図-1)において中間支点が弾性横リブで支持された多径間連続直交異方性板の解析の場合に中間弾性支持部を切断し、代りに線分布鉛直荷重を挿入し、W. Pelican u. M. Esalinger の解法である剛支承上の構造系と弾性支承上の構造系に分けて解析している方法と比較検討したものである。

本報告は中間弾性支持部にヒンジを挿入し、代りに線分布曲げモーメントを挿入して解析を行ない、W. Pelican u. M. Esalinger の解法と比較検討したままでのである。

2. 解析の概要

解析するにあたり、図-2のように中間の弾性支持部にヒンジを挿入し、代りに線分布曲げモーメント $\sin \frac{2\pi}{L} b_2 \cdot j X_{im} \cdot f_{in} \cdot \sin \frac{n\pi}{a} x$ を挿入していく方法である。ここで、 j は中間弾性支持部の数だけ変化する、 b_2 は0番目の支点から j 番目の支点までの長さであり、 $\sin \frac{2\pi}{L} b_2 \cdot j X_{im} \cdot f_{in} \cdot \sin \frac{n\pi}{a} x$ は状態 j の時の m 番目の弾性支持部に挿入する不静定線分布曲げモーメントである。

3. 三径間連続直交異方性板の解析(直交条件を用いる)

三径間連続直交異方性板の場合の解析は図-2において、 $m = 1, 2$ である。したがって、 $j = 1, 2$, $j = 1, 2$ である。図-3において、中間弾性支持部にヒンジを挿入して、不静定線分布曲げモーメント $\sin \frac{2\pi}{L} b_2 \cdot j X_{im} \cdot f_{in} \cdot \sin \frac{n\pi}{a} x$ を挿入する(図-4参照)。 $j X_{im}$ の j は状態 j を表わし、 i はその時の支点 i を表わし、 m は級数の項数を表わしている。このようお不静定線分布曲げモーメントによる変形は図-5のようになる。ここで、 j 、 i 、 m について列挙すれば次の通りである。

$$d_n = \frac{n\pi}{a} \sqrt{\frac{EJ}{K_y}}, K_y = \text{単位幅}$$

当たりの板の曲げ剛性、

$$f_{in} = \frac{2}{a} \sin \frac{n\pi}{a} x \quad (\text{集中荷重})$$

$$f_{in} = \frac{4}{a} \cdot \frac{1}{n} \cdot \sin \frac{n\pi}{a} x \cdot \sin \frac{n\pi}{a} c \quad (\text{分布荷重})$$

$$C_{in} = \frac{K_y d_n^3}{EJ(\frac{a^2}{2})}, EJ \text{は}$$

横リブの曲げ剛性とすれば、

$$-_{11}\beta_{12} = _{11}\beta_{21} = K_1 \cdot \sin \frac{2\pi}{L} b_1 \cdot 1 \cdot f_{in} \cdot \sin \frac{n\pi}{a} x, -_{12}\beta_{12} = _{12}\beta_{21} = K_1 \cdot \sin \frac{2\pi}{L} b_2 \cdot 1 \cdot f_{in} \cdot \sin \frac{n\pi}{a} x,$$

$$-_{21}\beta_{12} = _{21}\beta_{21} = K_1 \cdot \sin \frac{2\pi}{L} b_1 \cdot 1 \cdot f_{in} \cdot \sin \frac{n\pi}{a} x, -_{22}\beta_{12} = _{22}\beta_{21} = K_1 \cdot \sin \frac{2\pi}{L} b_2 \cdot 1 \cdot f_{in} \cdot \sin \frac{n\pi}{a} x,$$

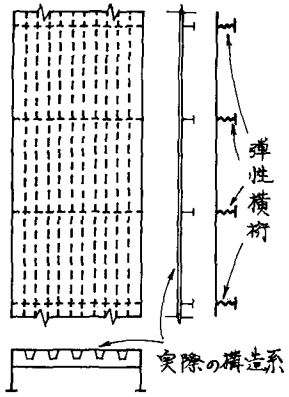
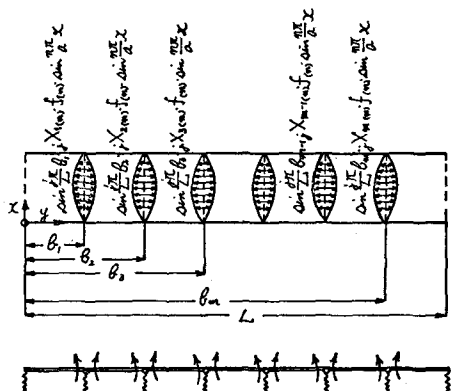


図-1



↑印の箇所に不静定線分布曲げモーメント
 $\sin \frac{2\pi}{L} b_2 \cdot j X_{im} \cdot f_{in} \cdot \sin \frac{n\pi}{a} x$ を挿入する 図-2

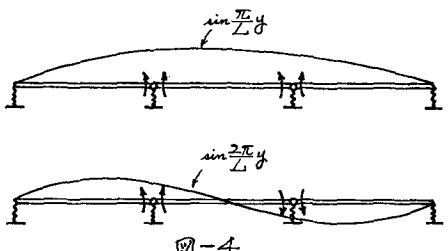


図-4

$$\begin{aligned}
11Y_{1L} &= -K_2 \cdot \sin \frac{\pi}{L} b_1 \cdot 1 \cdot f_{(n)} \cdot \sin \frac{\pi}{a} X, \quad 11Y_{1R} = K_2 \cdot \sin \frac{\pi}{L} b_1 \cdot 1 \cdot f_{(n)} \cdot \sin \frac{\pi}{a} X, \\
11Y_{2L} &= -K_2 \cdot \sin \frac{\pi}{L} b_1 \cdot 1 \cdot f_{(m)} \cdot \sin \frac{\pi}{a} X, \quad 11Y_{2R} = -K_2 \cdot \sin \frac{\pi}{L} b_2 \cdot 1 \cdot f_{(n)} \cdot \sin \frac{\pi}{a} X, \\
12Y_{1L} &= K_2 \cdot \sin \frac{\pi}{L} b_1 \cdot 1 \cdot f_{(n)} \cdot \sin \frac{\pi}{a} X, \quad 12Y_{1R} = -K_2 \cdot \sin \frac{\pi}{L} b_2 \cdot 1 \cdot f_{(n)} \cdot \sin \frac{\pi}{a} X, \\
21Y_{1L} &= -K_2 \cdot \sin \frac{\pi}{L} b_1 \cdot 1 \cdot f_{(n)} \cdot \sin \frac{\pi}{a} X, \quad 21Y_{1R} = K_2 \cdot \sin \frac{\pi}{L} b_1 \cdot 1 \cdot f_{(n)} \cdot \sin \frac{\pi}{a} X, \\
21Y_{2L} &= -K_2 \cdot \sin \frac{\pi}{L} b_1 \cdot 1 \cdot f_{(n)} \cdot \sin \frac{\pi}{a} X, \quad 21Y_{2R} = -K_2 \cdot \sin \frac{\pi}{L} b_2 \cdot 1 \cdot f_{(n)} \cdot \sin \frac{\pi}{a} X, \\
22Y_{1L} &= 22Y_{1R} = K_2 \cdot \sin \frac{\pi}{L} b_1 \cdot 1 \cdot f_{(n)} \cdot \sin \frac{\pi}{a} X, \quad 22Y_{1R} = K_2 \cdot \sin \frac{\pi}{L} b_2 \cdot 1 \cdot f_{(n)} \cdot \sin \frac{\pi}{a} X, \\
12E_{1L} &= K_3 \cdot \sin \frac{\pi}{L} b_1 \cdot 1 \cdot f_{(n)} \cdot \sin \frac{\pi}{a} X, \quad 12E_{1R} = -K_3 \cdot \sin \frac{\pi}{L} b_2 \cdot 1 \cdot f_{(n)} \cdot \sin \frac{\pi}{a} X, \\
21E_{1L} &= K_3 \cdot \sin \frac{\pi}{L} b_1 \cdot 1 \cdot f_{(n)} \cdot \sin \frac{\pi}{a} X, \quad 21E_{1R} = -K_3 \cdot \sin \frac{\pi}{L} b_2 \cdot 1 \cdot f_{(n)} \cdot \sin \frac{\pi}{a} X
\end{aligned}$$

となる。また、 K_1, K_2, K_3 は

$$K_1 = \frac{1}{K_g} \cdot \frac{1}{dn} \cdot \left\{ \frac{\cosh dn b}{\sinh dn b} - \frac{1}{dn b + 2Cw} \right\} \quad (1)$$

$$K_2 = \frac{1}{K_g} \cdot \frac{1}{dn^2} \cdot \frac{Cw}{dn b + 2Cw} \cdot \frac{1}{b} \quad (2)$$

$$K_3 = \frac{1}{K_g} \cdot \frac{1}{dn} \cdot \left\{ \frac{1}{\sinh dn b} - \frac{1}{dn b + 2Cw} \right\} \quad (3)$$

添字に「1」で説明すれば、例えば $11Y_{1L}$ は状態1の時の支点1の端モーメントが作用する時の支点1の右側の捻り角を表わしている。また、状態1は図-5 (a)と図-5 (b)を加えたものであり、状態2は図-5 (c)と図-5 (d)を加えたものである。

次に、前述の諸式を利用して Maxwell-Betti の相反法則を用

$$\begin{aligned}
1) \text{ ならば, } & \int_0^a \left[\sin \frac{\pi}{L} b_1 \cdot 1 \cdot X_{1(n)} \cdot f_{(n)} \cdot \sin \frac{\pi}{a} X \cdot \{-11Y_{1L} + 11Y_{1R} - 11Y_{2L} + 11Y_{2R} + 12Y_{1L} + 12Y_{1R}\} + \right. \\
& + \sin \frac{\pi}{L} b_2 \cdot 1 \cdot X_{2(m)} \cdot f_{(n)} \cdot \sin \frac{\pi}{a} X \cdot \{-12Y_{1L} + 12Y_{1R} - 12Y_{2L} + 12Y_{2R} - 11Y_{1L} + 11Y_{1R} - 11Y_{2L} + 11Y_{2R}\} + \\
& + \sin \frac{\pi}{L} b_1 \cdot 1 \cdot X_{1(n)} \cdot f_{(n)} \cdot \sin \frac{\pi}{a} X \cdot \{-11Y_{1L} + 11Y_{1R} - 11Y_{2L} + 11Y_{2R} + 12Y_{1L} + 12Y_{1R}\} + \\
& + \sin \frac{\pi}{L} b_2 \cdot 1 \cdot X_{2(m)} \cdot f_{(n)} \cdot \sin \frac{\pi}{a} X \cdot \{-12Y_{1L} + 12Y_{1R} - 12Y_{2L} + 12Y_{2R} - 11Y_{1L} + 11Y_{1R} - 11Y_{2L} + 11Y_{2R}\} + \\
& + P \cdot f_{(n)} \cdot \sin \frac{\pi}{a} X \cdot \delta_{10(n)} \] dx = 0 \quad (4)
\end{aligned}$$

$$\begin{aligned}
& \int_0^a \left[\sin \frac{\pi}{L} b_1 \cdot 1 \cdot X_{1(n)} \cdot f_{(n)} \cdot \sin \frac{\pi}{a} X \cdot \{-11Y_{1L} + 11Y_{1R} - 11Y_{2L} + 11Y_{2R} + 21Y_{1L} + 21Y_{1R} - 22Y_{1L} + 22Y_{1R}\} + \right. \\
& + \sin \frac{\pi}{L} b_2 \cdot 1 \cdot X_{2(m)} \cdot f_{(n)} \cdot \sin \frac{\pi}{a} X \cdot \{-22Y_{1L} + 22Y_{1R} - 22Y_{2L} + 22Y_{2R} - 21Y_{1L} + 21Y_{1R} - 21Y_{2L} + 21Y_{2R} - 22E_{1L}\} + \\
& + \sin \frac{\pi}{L} b_1 \cdot 1 \cdot X_{1(n)} \cdot f_{(n)} \cdot \sin \frac{\pi}{a} X \cdot \{-21Y_{1L} + 21Y_{1R} - 21Y_{2L} + 21Y_{2R} + 22Y_{1L} + 22Y_{1R} - 22Y_{2L} + 22Y_{2R} - 21E_{1L}\} + \\
& + \sin \frac{\pi}{L} b_2 \cdot 1 \cdot X_{2(m)} \cdot f_{(n)} \cdot \sin \frac{\pi}{a} X \cdot \{-22Y_{1L} + 22Y_{1R} - 22Y_{2L} + 22Y_{2R} - 21Y_{1L} + 21Y_{1R} - 21Y_{2L} + 21Y_{2R} - 22E_{1L}\} + \\
& + P \cdot f_{(n)} \cdot \sin \frac{\pi}{a} X \cdot \delta_{20(n)} \] dx = 0 \quad (5)
\end{aligned}$$

となり、式(4), 式(5)の{}の中を整理すれば、式(1), 式(2), 式(3)を用いて

$$-11Y_{1L} + 11Y_{1R} - 11Y_{2L} + 11Y_{2R} + 12Y_{1L} + 12Y_{1R} = \sin \frac{\pi}{L} b_1 \cdot 1 \cdot f_{(n)} \cdot \sin \frac{\pi}{a} X \cdot \{2K_1 + 2K_2 - 2K_3 \left(\frac{\sin \frac{\pi}{L} b_2}{\sin \frac{\pi}{L} b_1} \right) - K_3 \left(\frac{\sin \frac{\pi}{L} b_2}{\sin \frac{\pi}{L} b_1} \right)\} \quad (6)$$

$$-12Y_{1L} + 12Y_{1R} - 12Y_{2L} + 12Y_{2R} - 11Y_{1L} + 11Y_{1R} - 11Y_{2L} + 11Y_{2R} = \sin \frac{\pi}{L} b_2 \cdot 1 \cdot f_{(n)} \cdot \sin \frac{\pi}{a} X \cdot \{2K_1 + 2K_2 - 2K_3 \left(\frac{\sin \frac{\pi}{L} b_1}{\sin \frac{\pi}{L} b_2} \right) - K_3 \left(\frac{\sin \frac{\pi}{L} b_1}{\sin \frac{\pi}{L} b_2} \right)\} \quad (7)$$

$$-21Y_{1L} + 21Y_{1R} - 21Y_{2L} + 21Y_{2R} + 22Y_{1L} + 22Y_{1R} - 22Y_{2L} + 22Y_{2R} = \sin \frac{\pi}{L} b_1 \cdot 1 \cdot f_{(n)} \cdot \sin \frac{\pi}{a} X \cdot \{2K_1 + 2K_2 - 2K_3 \left(\frac{\sin \frac{\pi}{L} b_2}{\sin \frac{\pi}{L} b_1} \right) - K_3 \left(\frac{\sin \frac{\pi}{L} b_2}{\sin \frac{\pi}{L} b_1} \right)\} \quad (8)$$

$$-22Y_{1L} + 22Y_{1R} - 22Y_{2L} + 22Y_{2R} - 21Y_{1L} + 21Y_{1R} - 21Y_{2L} + 21Y_{2R} - 22E_{1L} = \sin \frac{\pi}{L} b_2 \cdot 1 \cdot f_{(n)} \cdot \sin \frac{\pi}{a} X \cdot \{2K_1 + 2K_2 - 2K_3 \left(\frac{\sin \frac{\pi}{L} b_1}{\sin \frac{\pi}{L} b_2} \right) - K_3 \left(\frac{\sin \frac{\pi}{L} b_1}{\sin \frac{\pi}{L} b_2} \right)\} - E_{1L} \quad (9)$$

となる。すなはち、 $b_2 = 2b_1$ の場合から、式(6)=式(7), 式(8)=式(9)となり、それ故に A_1, A_2 とおく。

また、 $\delta_{10(n)}$ は図-5 (a), (b)より求まる。第二経間で載荷される時の $\delta_{10(n)}$ は、次式のようになる。

$$\delta_{10(n)} = -\frac{1}{K_g} \cdot \frac{1}{dn} \cdot \left[\frac{\sinh dn(b_1 - b_2)}{\sinh dn b_1} - \frac{dn(b_1 - b_2) + Cw}{dn b_1 + 2Cw} \right] \cdot \sin \frac{\pi}{L} b_1 \cdot 1 \cdot f_{(n)} \cdot \sin \frac{\pi}{a} X -$$

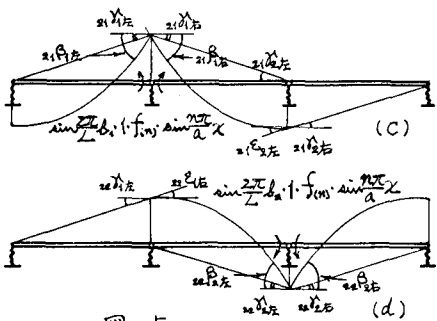
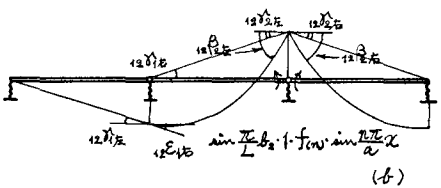
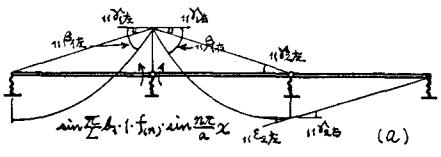


図-5

$$-\frac{1}{K_y} \cdot \frac{1}{\alpha^2} \cdot \frac{C_w}{\sin b + 2C_w} \cdot \frac{b - b_2}{b} \cdot \sin \frac{\pi}{L} b_1 \cdot f_{(n)} \cdot \sin \frac{\pi}{L} x - \frac{1}{K_y} \frac{1}{\alpha^2} \left[\frac{\sin b \sin b_2}{\sin b + 2C_w} - \frac{\sin b_1 + C_w}{\sin b + 2C_w} \right] \cdot \sin \frac{\pi}{L} b_2 \cdot f_{(n)} \cdot \sin \frac{\pi}{L} x - \\ - \frac{1}{K_y} \frac{1}{\alpha^2} \cdot \frac{C_w}{\sin b + 2C_w} \cdot \frac{b_2}{b} \cdot \sin \frac{\pi}{L} b_1 \cdot f_{(n)} \cdot \sin \frac{\pi}{L} x = \delta'_{10(n)} \cdot f_{(n)} \cdot \sin \frac{\pi}{L} x \quad (10)$$

同様にして、 $\delta_{20(n)}$ は図-5(c), (d) により求まる。第二径間に載荷される時の $\delta_{20(n)}$ は、

$$\delta_{20(n)} = -\frac{1}{K_y} \frac{1}{\alpha^2} \left[\frac{\sin b \sin b_1 - b_2}{\sin b + 2C_w} - \frac{b - b_2 + C_w}{\sin b + 2C_w} \right] \cdot \sin \frac{\pi}{L} b_1 \cdot f_{(n)} \cdot \sin \frac{\pi}{L} x - \\ - \frac{1}{K_y} \frac{1}{\alpha^2} \frac{C_w}{\sin b + 2C_w} \cdot \frac{b - b_2}{b} \cdot \sin \frac{\pi}{L} b_1 \cdot f_{(n)} \cdot \sin \frac{\pi}{L} x - \frac{1}{K_y} \frac{1}{\alpha^2} \left[\frac{\sin b \sin b_2}{\sin b + 2C_w} - \frac{\sin b_1 + C_w}{\sin b + 2C_w} \right] \cdot \sin \frac{\pi}{L} b_2 \cdot f_{(n)} \cdot \sin \frac{\pi}{L} x - \\ - \frac{1}{K_y} \frac{1}{\alpha^2} \frac{C_w}{\sin b + 2C_w} \cdot \frac{b_2}{b} \cdot \sin \frac{\pi}{L} b_1 \cdot f_{(n)} \cdot \sin \frac{\pi}{L} x = \delta'_{20(n)} \cdot f_{(n)} \cdot \sin \frac{\pi}{L} x \quad (11)$$

以下省略する。したがって、式(4), 式(5)は次のようになる。

$$\int_0^L \left[\left\{ f_{(n)}^2 \cdot \sin^2 \frac{\pi}{L} x \cdot \sin^2 \frac{\pi}{L} b_1 \cdot X_{1(n)} + f_{(n)}^2 \cdot \sin^2 \frac{\pi}{L} x \cdot \sin^2 \frac{\pi}{L} b_2 \cdot X_{2(n)} \right\} \cdot A_1 + \right. \\ \left. + \left\{ f_{(n)}^2 \cdot \sin^2 \frac{\pi}{L} x \cdot \sin^2 \frac{\pi}{L} b_1 \cdot \sin^2 \frac{\pi}{L} b_2 \cdot X_{1(n)} + f_{(n)}^2 \cdot \sin^2 \frac{\pi}{L} x \cdot \sin^2 \frac{\pi}{L} b_2 \cdot \sin^2 \frac{\pi}{L} b_1 \cdot X_{2(n)} \right\} \cdot A_1 + P \cdot f_{(n)} \cdot \sin \frac{\pi}{L} x \cdot \delta_{10(n)} \right] dx \equiv 0 \quad (4)' \\ \int_0^L \left[\left\{ f_{(n)}^2 \cdot \sin^2 \frac{\pi}{L} x \cdot \sin^2 \frac{\pi}{L} b_1 \cdot \sin^2 \frac{\pi}{L} b_2 \cdot X_{1(n)} + f_{(n)}^2 \cdot \sin^2 \frac{\pi}{L} x \cdot \sin^2 \frac{\pi}{L} b_2 \cdot \sin^2 \frac{\pi}{L} b_1 \cdot X_{2(n)} \right\} \cdot A_2 + \right. \\ \left. + \left\{ f_{(n)}^2 \cdot \sin^2 \frac{\pi}{L} x \cdot \sin^2 \frac{\pi}{L} b_1 \cdot \sin^2 \frac{\pi}{L} b_2 \cdot X_{2(n)} + f_{(n)}^2 \cdot \sin^2 \frac{\pi}{L} x \cdot \sin^2 \frac{\pi}{L} b_2 \cdot \sin^2 \frac{\pi}{L} b_1 \cdot X_{1(n)} \right\} \cdot A_2 + P \cdot f_{(n)} \cdot \sin \frac{\pi}{L} x \cdot \delta_{20(n)} \right] dx \equiv 0 \quad (5)'$$

式(4)', 式(5)'において、 $X_{1(n)} = X_{10(n)}$, $X_{2(n)} = X_{20(n)}$, $X_{1(n)} = X_{20(n)}$, $X_{2(n)} = X_{10(n)}$ であるから、また、
 $\int_0^L \sin^2 \frac{\pi}{L} x dx = \frac{L}{2}$ であるから、

$$X_{10(n)} \cdot (\sin^2 \frac{\pi}{L} b_1 + \sin^2 \frac{\pi}{L} b_2) \cdot A_1 + X_{20(n)} \cdot (\sin^2 \frac{\pi}{L} b_1 \cdot \sin^2 \frac{\pi}{L} b_2 + \sin^2 \frac{\pi}{L} b_2 \cdot \sin^2 \frac{\pi}{L} b_1) \cdot A_1 \equiv P \cdot \delta'_{10(n)} \quad (4)''$$

$$X_{20(n)} \cdot (\sin^2 \frac{\pi}{L} b_1 + \sin^2 \frac{\pi}{L} b_2) \cdot A_2 + X_{10(n)} \cdot (\sin^2 \frac{\pi}{L} b_1 + \sin^2 \frac{\pi}{L} b_2) \cdot A_2 \equiv P \cdot \delta'_{20(n)} \quad (5)''$$

となる。直交条件より、 $\sin^2 \frac{\pi}{L} b_1 \cdot \sin^2 \frac{\pi}{L} b_2 + \sin^2 \frac{\pi}{L} b_2 \cdot \sin^2 \frac{\pi}{L} b_1 = 0$ であるので、式(4)''、式(5)''はそれぞれ

$$X_{10(n)} \cdot (\sin^2 \frac{\pi}{L} b_1 + \sin^2 \frac{\pi}{L} b_2) \cdot A_1 \equiv P \cdot \delta'_{10(n)} \quad (12), \quad X_{20(n)} \cdot (\sin^2 \frac{\pi}{L} b_1 + \sin^2 \frac{\pi}{L} b_2) \cdot A_2 \equiv P \cdot \delta'_{20(n)} \quad (13)$$

式(12), 式(13)をまとめれば、

$$jX_{(n)} = jX_{(n)} = \frac{P \cdot \delta_{10(n)}(n)}{A_j \cdot \sum_{i=1}^m \sin^2 \frac{\pi}{L} b_i} \quad (14) \quad \text{三径間連続直交異方性板の場合の不静定線分布曲げモーメントを求める式である。}$$

本解析法は仕事連立方程式を解く場合に逆マトリックスを求める必要がなくなる。

4. 多径間連続直交異方性板の解析(直交条件を用いる)

一般に多径間連続直交異方性板($(m+1)$ 径間の場合、図-2参照)は三径間連続直交異方性板の解析を拡張していきことができる。すなまち、Maxwell-Betti の相反法則を用いれば、式(4), 式(5)に相当する式は

$$\left. \begin{aligned} & \int_0^L \left[\sum_{j=1}^m \sum_{i=1}^m jX_{(n)} \cdot \sin^2 \frac{\pi}{L} b_i \cdot f_{(n)} \cdot \sin \frac{\pi}{L} x \cdot B_i + P \cdot f_{(n)} \cdot \sin \frac{\pi}{L} x \cdot \delta_{10(n)} \right] dx \equiv 0 \\ & \int_0^L \left[\sum_{j=1}^m \sum_{i=1}^m jX_{(n)} \cdot \sin^2 \frac{\pi}{L} b_i \cdot f_{(n)} \cdot \sin \frac{\pi}{L} x \cdot zB_i + P \cdot f_{(n)} \cdot \sin \frac{\pi}{L} x \cdot \delta_{20(n)} \right] dx \equiv 0 \\ & \vdots \\ & \int_0^L \left[\sum_{j=1}^m \sum_{i=1}^m jX_{(n)} \cdot \sin^2 \frac{\pi}{L} b_i \cdot f_{(n)} \cdot \sin \frac{\pi}{L} x \cdot nB_i + P \cdot f_{(n)} \cdot \sin \frac{\pi}{L} x \cdot \delta_{mo(n)} \right] dx \equiv 0 \end{aligned} \right\} \quad (15)$$

の m 本の仕事連立方程式が得られる。式(15)における B_i ($i = 1, 2, \dots, m$) は

$$kB_i = -k_1 B_{i1} + k_2 B_{i2} - k_3 B_{i3} + k_4 B_{i4} + k_5 B_{i5} + k_6 B_{i6} + k_7 B_{i7} + k_8 B_{i8} + k_9 B_{i9} + k_{10} B_{i10} \quad (16)$$

$$= f_{(n)} \cdot \sin \frac{\pi}{L} x \cdot \sin \frac{\pi}{L} b_i \cdot \{ 2K_1 + 2K_2 - (2K_2 + K_3) \cdot \cos \frac{\pi}{L} b_i \} \equiv f_{(n)} \cdot \sin \frac{\pi}{L} x \cdot \sin \frac{\pi}{L} b_i \cdot K_K$$

式(15)は式(16)を用いて $\int_0^L \left[\sum_{j=1}^m \sum_{i=1}^m jX_{(n)} \cdot f_{(n)}^2 \cdot \sin^2 \frac{\pi}{L} x \cdot [K_K \cdot \sin^2 \frac{\pi}{L} b_i \cdot \sin^2 \frac{\pi}{L} b_j + P \cdot f_{(n)} \cdot \sin \frac{\pi}{L} x \cdot \delta_{ko(n)}] \right] dx \equiv 0$

ただし、 $K = 1, 2, \dots, m$ また、 $\delta_{ko(n)} = \delta_{ko(n)} / f_{(n)} \cdot \sin \frac{\pi}{L} x$ の形で表示できるので、上式は $\int_0^L \sin^2 \frac{\pi}{L} x dx = \frac{L}{2}$

を利用して $\sum_{j=1}^m \sum_{i=1}^m jX_{(n)} \cdot [K_K \cdot \sin^2 \frac{\pi}{L} b_i \cdot \sin^2 \frac{\pi}{L} b_j + P \cdot f_{(n)} \cdot \sin \frac{\pi}{L} x \cdot \delta_{ko(n)}] \equiv 0$ $\quad (15)'$

直交条件 $\sum_{i=1}^m \sin^2 \frac{\pi}{L} b_i \cdot \sin^2 \frac{\pi}{L} b_i = 0$ (ただし) より

$$jX_{(n)} = jX_{(n)} = -\frac{P \cdot \delta_{10(n)}(n)}{\sum_{i=1}^m [K_K \cdot \sin^2 \frac{\pi}{L} b_i]} \quad (17) \quad (m+1) \text{ 径間連続直交異方性板の場合の不静定線分布曲げモーメントを求める式である。} j = 1, 2, \dots, m$$

不静定線分布曲げモーメントが求めれば、たとえ曲面 $W_{(n)}(x, y)$ は、重ね合せにより

$$W_{(n)}(x, y) = W_{(n)}(x, y) + \sum_{j=1}^m W_j(n)(x, y) \cdot jX_{(n)} \quad (18)$$

が求まる。

5. 数値計算例

図-6のうる三径間連続直交異方性板を例にし
て数値計算を行なった。用いた寸法、断面諸元は図
-6の通りである。また、 $K_y = 8.4492 \times 10^4 \text{ kg/cm}^2/\text{cm}$,
 $EJ = 5.0751 \times 10^6 \text{ kg/cm}^2$, $H = 1.65717 \times 10^5 \text{ kg/cm}^2/\text{cm}$,
 $P_0 = 80 \text{ kg/cm}^2$, 板厚=0.23 cm, $n=98$ とした。

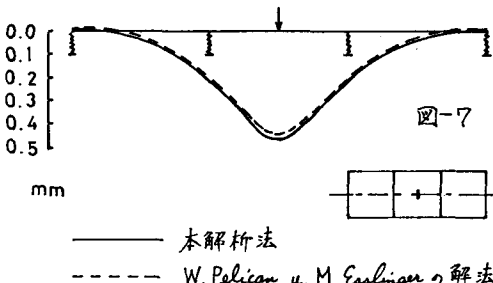


図-7

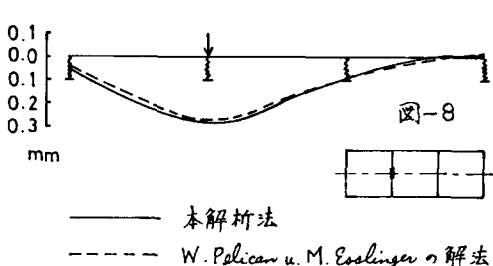


図-8

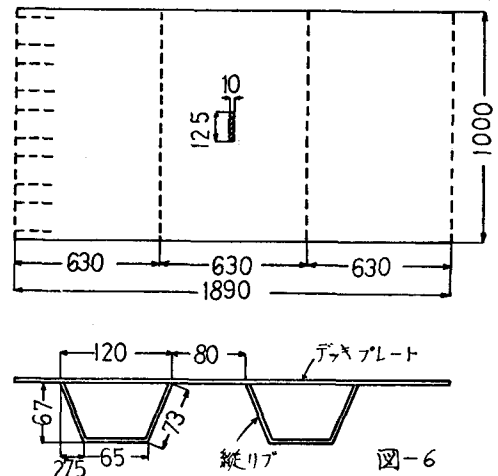


図-6

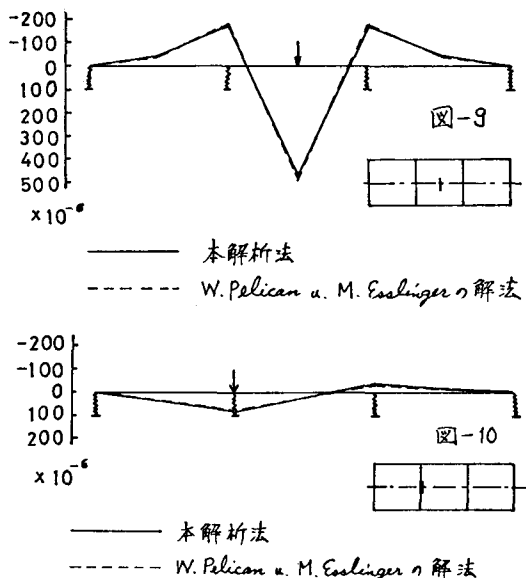


図-9

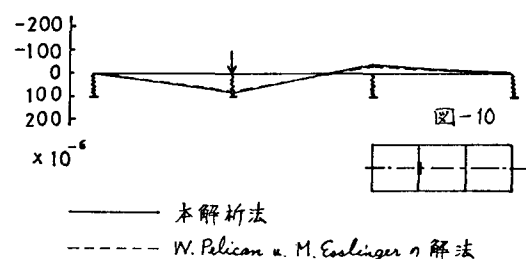


図-10

図-7は中央径間中央に載荷した時のたわみである。
図-8は弾性横筋中央に載荷した時のたわみである。
図-9は中央径間中央に載荷した時のひずみである。
図-10は弾性横筋中央に載荷した時のひずみである。
図-7～図-10における、本解析法と W. Pelican u.
M. Esslinger の解法はほぼ一致していることがわかる。

6. あとがき

本解析法は弾性横筋ご支承された直交異方性板の解析を剛支承上の構造系と弾性支承上の構造系に分けながら
境界条件に弾性横筋を考慮して微分方程式を解き、その解を基本にして、中間弾性支点部にヒンジを挿入し、不
静定線分布曲げモーメント（組合重群） $\sin \frac{2\pi}{L} bi_j x_{ij} f_{ij} \sin \frac{\pi}{L} x_{ij}$ を挿入し、仕事適立方程式をつくり、要素 δ_{ij}
以外は全部零要素となるよう直交条件を用いて解析するので、逆マトリックスを求める必要はない。

本解析法と W. Pelican u. Esslinger の解法はほぼ一致していることが数値計算の結果判明した。

本研究につけて、日本鋼管株式会社のご援助を得たの感謝を表したい。

最後に、本報告における数値計算には、北海道大学大型計算機センターの Facom 230-60 を用いた。

- 参考文献 1). 渡辺界・佐藤浩一・松元照幸：弾性筋上の連続直交異方性板の解析 土木学会第29回年次第2回
講演会講演概要集 I-79
2). 渡辺界：橋の影響線の理論と計算法、現代社
3). 国広哲男・藤原稔：直交異方性版理論による鋼床版実用設計法、土木研究所報告 130号の1, 690号(補遺)
4). W. Pelican u. M. Esslinger : Die Stahlfahrbahn Berechnung und Konstruktion, M.A.N Forschungsheft
Nr. 7, 1957